

G - TE

1?

$CsTiF_6$

B95-1770-X

1932

Ginsberg H

(Tm) Z. anorg. und allg. Chem.  
1932, 204, 225-31.

$C_2$  TiCl<sub>6</sub>

Bsp 1530-F

1954

Ehrlich P, et al

(Hf,Tr) Z. Naturforsch., 1954, 96,  
926

$Cs_3TiCl_6$

BGS - 1528-X

1959

$CsTiCl_4$

Марков Б.Ф., Чесноков В.В.

(Tm)

Усп. хим. №, 1959, 25(3)

279 - 284.

$\text{Cs}_2\text{Ti}_4\text{O}_9$

BF-1661-X

1959

$T_m$

Schmitz-Du Mont O.

Monatsh. Chem., 1959, 90,  
N2, 134-142

1960

Морозов Н.С., Топоровск Д.Г.

Ti -

ЖМХ, 1960, 5, №1, 88

-сведения Термич. и структурные

влияниях температуры на одновременных металлах

$(\delta \text{Cs}_2 \text{TiCl}_6)$ , 795

$\text{Ba}_2 \text{TiCl}_6$  745

$\text{K}_2 \text{TiCl}_6$  580

$\text{Rb}_2 \text{TiCl}_6$  520

Температура плавления - 3300°

B92 - 1662-X

1969.

C3 Till3

Ehrlich P; Schmitt R

(Tm)

Z. Anorg. und allgern Chem.  
1969, 308, Nr-6, 91-97

L 7961

BB-1662-8

G. TICZ

Ehrlich P., Schmitt R.

Fm)

Z. anorgan. und.

allgem. Chem.

1961, 308, N<sub>1-6</sub>, 91-97

13 B35. Взаимодействие га-1963  
ниев- и циркониевых ми-  
нера с боросиликатами Rb и Cs

$C_8TiBr_3$	
$C_8_3TiBr_6$	
$C_8_3Ti_2Br_2$	XI- 1963-494
$C_8_2TiBr_6$	
(Tm)	(B35 - 494)

Изюмов С. А. и др.

Хим. Класс.

1963, 8(8), 1933-37.

ав. I(Rb).

$C_8_2T_{ill_6}$  (Bq-124-X) 1963

Lister R.D.

(Tm) Flengas S.N.

Can. J Chem., 1963, 41(6)

1548-51

С.С

бронитта  
найв.

Ишукарев С. А.,

Василькова И. В.

Королев Д. Б.

11964

№. неоргл. химии, 1964,  
9, № 8, 1810.

~~Этапы формирования  
бронитта на основе рудников  
и золота.~~  
(см. Kb - Ti) I

890-8-5520

1964

Хлоро-  
титанаты  
Cs -

Cs2TiCl6

ВФ-122-X

16 Б414. Термодинамические свойства хлоротитанатов цезия. Lister R. L., Flengas S. N. The thermodynamic properties of cesium chlorotitanates. «J. Electrochem. Soc.», 1964, 111, № 3, 343—348 (англ.)

Давление диссоциации ( $P$ , мм рт. ст.) Cs2TiCl6 измерено статич. методом в интервале 870—1040° К для индивидуального в-ва, а также в присутствии CsCl. В последнем случае образуется Cs4TiCl8. Эксперим. данные подчиняются ур-ниям: для р-ции Cs2TiCl6 (тв.) =  $= 2\text{CsCl}$  (тв.) + TiCl4 (газ):  $\lg P = -8358/T + 11,762$  (870—918° К); для р-ции Cs2TiCl6 (тв.) = 2\text{CsCl} (жидк.) ± TiCl4 (газ):  $\lg P = -9223/T + 12,714$  (918—950° К); для р-ции Cs4TiCl8 (тв.) = 4\text{CsCl} (жидк.) + TiCl4 (газ):  $\lg P = -5171/T + 7,901$  (918—1040° К). Рассмотрение растворимости TiCl4 в расплавах хлоридов щел. металлов показало, что растворимость увеличивается с возрастанием ионного радиуса катиона щел. металла в расплаве.

А. Грановская

Х-1965/16

1964

BEP - 12.2-X

Cs<sub>2</sub>TiCl<sub>6</sub>

Pguess.

Thermodynamic properties of cesium chlorotitanates. R. L. Lister and S. N. Flengas (Univ. Toronto, Can.). *J. Electro-Chem. Soc.* 111(3), 343-8(1964). The equil. decompr. pressures of pure Cs hexachlorotitanate were measured at various temps. Measurements were also made in the presence of Cs chloride. Cs hexachlorotitanate in excess of Cs chloride produced a new compd., Cs octachlorotitanate ( $Cs_4TiCl_8$ ). The vapor pressure curves are given by the following equations: (a)  $Cs_2TiCl_{6(s)} = 2CsCl_{(s)} + TiCl_{4(g)}$ ,  $\log_{10} P_{(mm.)} = (-8358/T) + 11.762$  ( $870^\circ - 918^\circ K.$ ); (b)  $Cs_2TiCl_{6(s)} = 2CsCl_{(l)} + TiCl_{4(g)}$ ,  $\log_{10} P_{(mm.)} = (-9223/T) + 12.714$  ( $918^\circ - 950^\circ K.$ ); and (c)  $Cs_4TiCl_{8(s)} = 4CsCl_{(l)} + TiCl_{4(g)}$ ,  $\log_{10} P_{(mm.)} = (-5171/T) + 7.901$  ( $918^\circ - 1040^\circ K.$ ). Various properties of the alkali metal chlorotitanate compds. are also discussed.

RCJV

C.A.1964.00.9

99816

1965

$$\begin{array}{c} \text{Cs}_2\text{TiO}_3 \\ \text{Cs}_2\text{ZrO}_3 \end{array}$$

Кумасине С. А.,  
Сергеева А. Е.

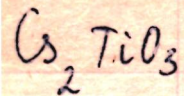
A G

Mr. goes. all the time,

1965, 39, n11, 2763.

$$(Cu. Zr - Zr)^T$$

1988



Kutolin S.A. et. al.

Izv. AN SSSR, Neorg. Mater., 2(10),  
1803.

$T_{tr}$

Effect of gas atmosphere  
during thermal synthesis  
of compounds of the  $\text{A}_2\text{BO}_3$   
and  $\text{ABO}_3$  type on  
their structure and

properties.

(cu.  $\text{Na}_2\text{TiO}_3$ )

1966

# TiCl<sub>4</sub>-CsCl

The interaction of gaseous titanium tetrachloride with molten cesium chloride. M. V. Smirnov and V. S. Maksimov. *Tr. Inst. Elektrokhim., Akad. Nauk SSSR, Ural'sk. Filial No. 8, 35-42(1966)* (Russ). The solv. of TiCl<sub>4</sub> in molten CsCl at fixed partial pressures and at 660-900° range and 60-540 mm. Hg was detd.; Henry's law is obeyed. The partial pressure of TiCl<sub>4</sub> over molten CsCl is related to the temp. and its concn. by the equation  $\log p = \log N + 2.950 - (2770/T)$ . For the soln. of gaseous TiCl<sub>4</sub> in molten CsCl,  $\Delta H = -12,700$  cal./mole and  $\Delta S = -(13.50 + 4.575 \log N)$  cal./mole-degree. The decompn. potential of TiCl<sub>4</sub> in molten CsCl is given by the equation  $E = 2.115 - 4.65 \times 10^{-4}T - 0.496 \times 10^{-4}T \log N$ .

G. Curthoys

C.A. 1966. 65. 11

16133 f

Cs-Ti,

Cs<sub>2</sub>TiF<sub>6</sub>

NE-CHERK

Rapacchini

Kreissel

Levinskaya

Brown D.H., et al

1964

J. Chem. Soc., 1964,

A, N1, 100.



(Cu. K-Ti) III

1967

G Ti Cl<sub>3</sub>

G<sub>2</sub> Ti Cl<sub>4</sub>

ΔM<sup>0</sup><sub>f</sub>

Королков Д.В.

Захарцевская В.О.

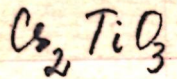
и.е. Георг. Гильден,

1964, 12, n 11, 2951

(Cu-Rb-Ti-сæg)!

[B9-40d6-X]

1967



Кумоши С. А., Всесх. А. Н.

В сб. „Минералы неизученных  
хим. реакций и пропа-  
ров”, Вып. 16, гл. 14-16..

Изучение новых чистор-  
ных минералов.



(ан.  $\text{Li}_2\text{TiO}_3$ )

1968

Cs<sub>3</sub>TiCl<sub>6</sub>  
CsTiCl<sub>4</sub>

Gopienko V. G.

Klyuchnikova E. F.

Kras.

Fiz. Khim. Elektrokhim.

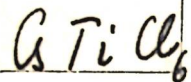
Rasplav. Solei Shlakov.

Tz. Vses. Soveshch., 3rd

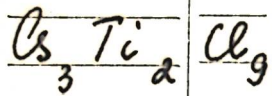
1968, №9.

(au. Zn-Ti) I

1968



Королевский Д. В.  
Кегречесова Т. И.



Исследование химии,  
13, № 6, 1626.

Tm

Образование суспензии RbCl -  
 $\text{TiCl}_3$  и  $\text{CsCl} - \text{TiCl}_3$ .



(ис.  $\text{Rb}_3\text{TiCl}_6$ )

$\text{Cs}_3\text{TiCl}_6$

$\text{Cs}_3\text{Ti}_2\text{Cl}_9$

$\text{CsTiCl}_4$

$\Delta H_{\text{aq}}$

$\Delta H_f$

ВР 5096 - VII  
королюков д.в.  
кудряшова г.м.

1970

Гроб. сопр. кислород  
координат. сопротив.

Бюл. 3. 1., Ленгизир. '70-7,  
1970, 224.

( $\text{CsTiCl}_3$ ) I

$\text{Cs}_2\text{TiOF}_4$  (T8)

$\text{Cs}_2\text{TiF}_6$  (T8)

( $16^\circ$ ;  $15^\circ$ ;

BP 6742-X

Sklyadnev, Yu. N.;  
et al.

1971

"J. Less-Common Metals"

1971, 25, N3, 336-40.

• (act.  $\text{K}_2\text{TiOF}_4$ ; I).

194

Б3

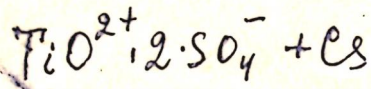
Квасцов

9 Е591. Влияние диполь-дипольного взаимодействия на теплоемкость цезий-титановых квасцов. Мейер  
 Paul H. E. Influence of the dipole-dipole coupling on the specific heat of cesium titanium alum. «Phys. Rev. B: Solid State», 1971, 3, № 1, 182—185 (англ.)

С помощью диаграммной техники рассчитано влияние диполь-дипольного взаимодействия на теплоемкость кубич. гранецентрированной решетки. Для замкнутых диаграмм с помощью фурье-преобразования найдены 2-й, 3-й и 4-й члены разложения по  $1/kT$ . Получено, что для цезий-титановых квасцов вычисленный 3-й член разложения высокотемпературной теплоемкости отличается от значения, известного из литературных источников, величиной и знаком. Библ. 10. В. Е. Зиновьев



п. 194.98

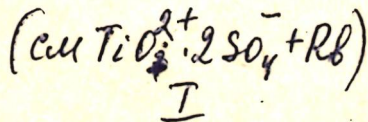


1972

Goroshchenko, Ya. A.

(Краби.) "Zh. Neorg. Khim.", 1972,

17, N5, 1304-1311.



I

BP - 8158-X

1974

$\text{Cs}_3\text{TiF}_7$

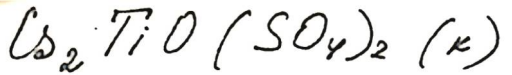
Чернов . Р. В.  
Бричко С.И.

(Tm)

"М. Некрасов. Журнал" 1974,  
19, №11, 3096-3099.

(all  $\text{Ab}_3\text{TiF}_7$ ; I)

2. 1975. 24



1977

Васин С.Н.

«Термокинетическое исследование  
вакуумных сульфатов титана  
(19) и их водных растворов.

Автореферат на соискание  
ученой степени кандидата химических наук.



$Cs_2TiO(SO_4)_2$  X 10401  
расцв. с. к. и гр. 1979

$Hf$

8-я Всес. конгр. по  
калиориметрии и хим.  
термодинам., Иваново,  
1979, Тез. докт. 1-НОР,  
Иваново, 1979, 55



Cs<sub>2</sub>TiO(SO<sub>4</sub>)<sub>2</sub> iI

$(\text{Cs}_2\text{TiO}(\text{SO}_4)_2)$

( $\Delta H_f$ )

(+3) ⑧

Х. 1949, N 15

X-10402

1949

15 Б737. Стандартные энталпии образования двойных сульфатов титанила и щелочных металлов. Васин С. К., Бабкин А. Г., Никитина С. Д., Тулаева Г. А. «Кинетика и механизм гетероген. реакций». Л., 1979, 92—97

Из определений теплот р-рения в 2M  $\text{H}_2\text{SO}_4$  сульфатов K, Cs, Rb и аммония, а также  $\text{TiOSO}_4$  и двойных солей  $\text{Cs}_2\text{TiO}(\text{SO}_4)_2$  (I),  $\text{Rb}_2\text{TiO}(\text{SO}_4)_2$  (II),  $\text{K}_2\text{TiO}(\text{SO}_4)_2 \cdot 1,5\text{H}_2\text{O}$  (III),  $\text{K}_2\text{TiO}(\text{SO}_4)_2$  (IV),  $(\text{NH}_4)_2\text{TiO}(\text{SO}_4)_2 \cdot \text{H}_2\text{O}$  (V) и  $\beta-(\text{NH}_4)_2\text{TiO}(\text{SO}_4)_2$  (VI) определены теплоты образования I—VI. Значения  $-\Delta H(\text{обр.}) \pm 1,00$  ккал/моль составили 717,68; 710,7; 778,87; 707,28; 719,30 и 646,70 для I—VI соотв. Вычислены энталпии образования I—VI из простых солей, убывающие в ряду  $\text{Cs} \rightarrow \text{Rb} \rightarrow \text{NH}_4 \rightarrow \text{K}$ . На основании абс. значений  $\Delta H(\text{обр.})$  соединения I—VI рассматриваются как внешнесферные комплексные соли вида  $[\text{TiO}(\text{SO}_4)_2]^{2-} \cdot 2\text{M}^+$ . Из сопоставления термохим. данных и ИК-спектров безводн. солей сделан вывод о влиянии внешнесферных катионов на прочность связи центральный ион — лиганд.

А. Б. Кисилевский

*Cs<sub>2</sub>TiJ<sub>6</sub>*

1982

15 Б365. Гекса-иодоанионы титана, циркония, гафния, палладия и платины: получение, свойства и кристаллическая структуры цезиевых солей. S i n g r a m D., B r e n d e l C., K r e b s B. Hexa-iodoanions of titanium, zirconium, hafnium, palladium and platinum: preparation, properties and crystal structures of the caesium salts. «Inorg. Chim. acta», 1982, 64, № 3, 131—132 (англ.)

*получение,  
св-ва, кри-  
стал. структ*

Описан синтез и проведен ДТА изоморфных соединений  $\text{Cs}_2\text{TiJ}_6$  (I),  $\text{Cs}_2\text{ZrJ}_6$  (II),  $\text{Cs}_2\text{HfJ}_6$  (III),  $\text{Cs}_2\text{PdJ}_6$  (IV) и  $\text{Cs}_2\text{PtJ}_6$  (V), кристаллизующихся в структурном типе  $\text{K}_2\text{PtCl}_6$  (метод порошка,  $\lambda \text{Cu}$ ). Кристаллы кубич.,  $a = 11,473$  (I),  $11,613$  (II),  $11,609$  (III),  $11,311$  (IV) и  $11,361$  (V) Å. Проведено полное структурное исследование кристаллов III и V [ $\lambda \text{Mo}, 21$  (III) и 480 (V) отражений, анизотропной МНК,  $R = 0,030$  (III) и 0,027 (V)]. Длина связи M—J составляет 2,829 в III и 2,673 Å в V. Межатомные расстояния Cs—J в III и V равны соотв. 4,105 и 4,020 Å.

Л. Х. Миначева

XV  
75

X. 1982, 19, N 15.

$CsTaF_6$

1984

пароми-  
рованным.

Агурьевский А. У.,  
Кузнецов В. И., и др.

Координаты. Известия,  
1984, 10, N 11, 1512-  
-1514.

(см.  $LiTaF_6$ ; I)

$Cs_2Ti_5O_{11}$

$Cs_2Ti_6O_{13}$

структура

1985

3 Б2052. Новые слоистые структуры титаната цезия.  
 New cesium titanate layer structures. Grey I. E., Madsen I. C., Watts J. A., Bursill L. A., Kwiatkowska J. «J. Solid State Chem.», 1985, 58, № 3, 350—356 (англ.)

Взаимодействием  $TiO_2$  с  $CsNO_3$  или  $CsOH$  при т-рах 850—1200° С синтезированы еще 2 фазы системы  $Cs_2O-TiO_2$  (в дополнение к ранее известной  $Cs_2Ti_2O_5$ ):  $Cs_2Ti_5O_{11}$  (I) с игольчатой формой кристаллов (асбесто-подобная) и  $Cs_2Ti_6O_{13}$  (II) с пластинчатой формой кристаллов (слюдоподобная). Фаза I устойчива лишь при высокой т-ре и при охлаждении претерпевает гидратацию с образованием фазы  $Cs_2Ti_5O_{11} \cdot (1+x)H_2O$  (III),  $0,5 < x < 1$ . Проведены рентгенографич. (методы порошка и монокристалла), электронографич. (микродифракция в электронном микроскопе при ускоряющем напряжении 100 кв), термич. (ДТА, ТГА) и ИК-спектроскопич. исследования I—III. Для II определена структура типа  $Cs_xMg_{x/2}Ti_{2-x/2}O_4$  с параметрами ромбич. решетки:  $a = 3,825$ ,  $b = 17,271$ ,  $c = 2,961$  Å, ф. гр.  $\bar{U}m\bar{m}\bar{m}$ . Структура

Х. 1986, 19, N 3

содержит параллельные плоскости (010) гофрированные слои из соединенных ребрами и вершинами октаэдров, между к-рыми размещаются атомы Cs (или возможно нейтральные группировки  $Cs_2O$ ). Наличие на дифракц. картинах 11 сверхструктурных отражений, соотв. решетке с  $A=2a$ ,  $B=b$  и  $C=3c$  трактуется как следствие упорядочения атомов Cs в межслоевом промежутке. Слоистая структура II хорошо объясняет пластинчатый габитус кристаллов и совершенную спайность по (010). Для I и III характерны монокл. решетки (ф. гр.  $C2/m$ ) с параметрами: I (при 200° С)  $a$  19,719,  $b$  3,808,  $c$  15,023 Å,  $\beta$  106,93°; III  $a$  23,849,  $b$  3,800,  $c$  14,918,  $\beta$  121,27°. Структуры I и III весьма сходны и содержат ленты из соединенных ребрами октаэдров (шириной в 5 октаэдров), связанные вершинами октаэдров в слои, между к-рыми располагаются в I атомы Сг, а в III — атомы Сг и молекулы  $H_2O$ ; при этом в I атомы Сг в межслоевом промежутке распределены упорядоченно, а в II — статистически. Приведены значения  $I, d(hkl)$  рентгенограмм порошка I—III и фазовая диаграмма системы  $Cr_2O-TiO_2$ .

С. В. Соболева

$\text{CsTiCl}_3$

1985

Meyer G., Packruhn  
U.

Z. anorg. und allg.  
Chem., 1985,

524, N 5,

90-94.

(cu.  $\text{RBTiCl}_3$ ; I )

$\text{CsPO}_3 \cdot \text{TiO}_2$

1987

(Pm)

108: 44590v Phase diagram of the cesium metaphosphate-titanium dioxide system. Airapetyan, A. G.; Damazyan, G. S.; Manukyan, A. L.; Vagansaryan, A. S. (USSR). *Zh. Neorg. Khim.* 1987, 32(7), 1793-9 (Russ). DTA, visual-polythermal, and x-ray phase anal. studies established the formation of  $7\text{CsPO}_3 \cdot 3\text{TiO}_2$  and  $\text{CsPO}_3 \cdot \text{TiO}_2$  incongruently m. 860 and 1120°, resp. A eutectic occurs at 680° and ~3 mol %  $\text{TiO}_2$ . Crystals of  $\text{CsPO}_3 \cdot \text{TiO}_2$  were grown from melts.

C.A. 1988, 108, N 6

$Cs_3TiOF_5$

1987

Fouad, M.; Chaminade, J.P.;  
et al.

$T_{tr}$

Rev. chim. Miner. 1987,  
24(1), 1-9

(ccl.  $R_3TiOF_5$ ; I) C.A. 1987, 107(12)  
787985t

СТРОДОУ

1989

γ 1 Б3084. Сегнетоэлектрический переход и температуры плавления новых соединений  $\text{CsTiOAsO}_4$  и  $\text{Cs}_x\text{M}_{1-x}\text{TiOAs}_y\text{P}_{1-y}\text{O}_4$  с  $M=\text{K}$  или  $\text{Rb}$ . Ferroelectric transition and melting temperatures of new compounds:  $\text{CsTiOAsO}_4$  and  $\text{Cs}_x\text{M}_{1-x}\text{TiOAs}_y\text{P}_{1-y}\text{O}_4$  with  $M=\text{K}$  or  $\text{Rb}$  / Marnier G., Boulanger B., Menaert B. // J. Phys. Condens. Matter.— 1989.— 1, № 32.— С. 5509—5513.— Англ.

Синтезированы кристаллы (размером до 1 мм) новых соединений  $\text{CsSiOAsO}_4$  и  $\text{Cs}_x\text{M}_{1-x}\text{TiOAs}_y\text{P}_{1-y}\text{O}_4$  с  $M=\text{K}$  (I) и  $\text{Rb}$  (II),  $0 \leq x, y \leq 1$ , обладающие нелинейными оптич. свойствами. В диапазоне темп. 600—1200° С фазовые диаграммы исследованы оптич. методом и методом генерации вторичных гармоник (1,064/0,532 мкм). I с  $x=0$  испытывает сегнетоэлектрич. фазовый переход при  $932 \pm 5^\circ \text{C}$ , плавится при  $1180 \pm 10^\circ \text{C}$ , в II при  $x=0$  переход происходит при  $795 \pm 5^\circ \text{C}$ . За десятки градусов до т. пл. соединения становятся

( $\pi_{tz}, \pi_m$ )

Х. 1990, № 1

непрозрачными, что объясняется их хим. разл. С ростом  $x$  т-ры переходов и т. пл. уменьшаются, их эволюция нелинейна в I, но линейна в II. Подобное поведение объясняется нестатистич. распределением атомов K и Rb по решетке.

В. А. Ступников



1990

22 В3. Синтез и строение новой слоистой фазы  
 $CsTi_2Cl_7$ . Synthesis and structure of the novel layered  
phase  $CsTi_2Cl_7$  / Zhang Jie, Corbett John D. // Z. anorg.  
und allg. Chem.— 1990.— 580, № 1.— С. 36—44.—  
Англ.; рез. нем.

Взаимодействиями в системе  $CsCl-TiCl_3-Ti$  выделены  $CsTi-Cl_3$  (I) и новая слоистая фаза  $CsTi_2Cl_7$  (II). I кристаллизуется в гексагон. решетке  $CuNiCl_3$ -типа;  $a = 7,3086$  (7),  $c = 6,0670$  (8) Å, пр. гр.  $P6_3/mmc$ . Выполнен РСТА II [1403 отражения с  $I > 3\delta$ ] (I),  $R = 0,026$ ,  $R_w = 0,035$ . Кристаллы II монокл.,  $a = 7,0076$  (4),  $b = 6,2256$  (4),  $c = 12,000$  (2) Å,  $\beta = 92,175$  (6)°,  $Z = 2$ , пр. гр.  $P2/c$ . Структура II формируется в результате перв. конденсации групп  $TiCl_6$  через цис-ребра октаэдров в закрученные ленты  $TiCl_2Cl_{4/2}$  и послед. образованием слоев анионов  $^2 \infty [Ti(Cl)Cl_{4/2}Cl_{1/2}]^-$ . Отмечено значит. π-связывание хлор—титан. Рассмотрено возможное взаимодействие  $d_{xy}^1$ -орбиталей смежных атомов Ti(3+) в II. По резюме

ж. 1990, № 2

$CsTi_{4,3}I_{11}$

1991

сингуляр-  
ность

Zhang Jie,

Qi Ru-Li, et al.

Inorg. Chem. 1991.

30, N<sub>28</sub>. C. 4794 -

4798. (ces.  $KTi_4Cl_{11}; T$ )

$\text{CsTaO}_3$  (K)

Om. 36947

1993

118: 220756w Thermodynamics of cesium metatantalate. Karvakin, N. V.; Chernorukov, N. G. (Nizhegorod. Gos. Univ., Nizhniy Novgorod, Russia). *Zh. Neorg. Khim.* 1993, 38(1), 55-7 (Russ). Std. thermodyn. functions of formation of cryst.  $\text{CsTaO}_3$  was deid. at 298.15 K and the abs. std. entropy was calcd.

$(\partial_f S, \partial_f f)$

C.A. 1993, 118, N22

БТАВЗ

Он 36947

1993

У 7 Б3043. Термодинамика метатанталата цезия /Карякин Н. В., Черноруков Н. Г. //Ж. неорган. химии .—1993 .—38 ,№ 1 .—С. 55—57 .—Рус.

Определены станд. термодинамич. функции образования крист. метатанталата цезия при  $T=298,15$  К:  $\Delta_f H^\circ(298)=-1430\pm 4$  кДж/моль;  $\Delta_f G^\circ(298)=-1350\pm 10$  кДж/моль;  $\Delta_f S^\circ(298)=-268\pm 25$  кДж  $\cdot$  моль $^{-1}$   $\cdot$  К $^{-1}$ . Рассчитана стандартная абсолютная энтропия кристаллич. метатанталата цезия:  $S^\circ(298)=166\pm 25$  кДж  $\cdot$  моль $^{-1}$   $\cdot$  К $^{-1}$ .

(ДН, 5.98)

Х. 1993, № 7

C<sub>3</sub>TaMo<sub>6</sub>

1993

Karyakin N.V.,  
Chernovskova N.F., et al.,

(1993) Zh. Obshch. Khim. 1993,  
63(3), 528-30.

(Cu<sub>2</sub>-C<sub>3</sub>N<sub>8</sub>Mo<sub>6</sub>O<sub>6</sub>; I)

1995

CsTi<sub>3</sub>P<sub>5</sub>O<sub>19</sub>

16 Б276. Синтез и кристаллическая структура  $\alpha$ - и  
 $\beta$ -CsTi<sub>3</sub>P<sub>5</sub>O<sub>19</sub>. Synthesis and crystal structures of  $\alpha$ - and  
 $\beta$ -CsTi<sub>3</sub>P<sub>5</sub>O<sub>19</sub> / Lii K.-H., Gier T. E., Stucky G. D. // J.  
Solid State Chem. — 1995. — 115, № 1. — С.  
120—125. — Англ.

Для получения кристаллов  $\alpha$ -CsTi<sub>3</sub>P<sub>5</sub>O<sub>19</sub> смесь CsH<sub>2</sub>PO<sub>4</sub>, NH<sub>4</sub>H<sub>2</sub>PO<sub>4</sub> и TiO<sub>2</sub> (мольное соотношение Cs:P 0,65) нагревали в платиновых тиглях от комнатной температуры до 1000 °C за 8 ч, выдерживали 0,5 ч, охлаждали до 800 °C со скоростью 10 °C, выдерживали 12 ч и вынимали тигли из печи. Полученные после отмычки водой кристаллы  $\alpha$ -CsTi<sub>3</sub>P<sub>5</sub>O<sub>19</sub> были прозрачными и имели стержнеобразную форму. Для получения кристаллов  $\beta$ -CsTi<sub>3</sub>P<sub>5</sub>O<sub>19</sub> исходные смеси того же состава нагревали до 1250 °C, выдерживали 1 ч, охлаждали до 1130 °C со скоростью 60 °C, выдерживали 20 ч и вынимали из печи, полученные кристаллы  $\beta$ -CsTi<sub>3</sub>P<sub>5</sub>O<sub>19</sub> также были прозрачными и имели стержнеобразную форму. Проведен РСТА монокристалла  $\alpha$ -CsTi<sub>3</sub>P<sub>5</sub>O<sub>19</sub> ( $\lambda$ Mo, 25 °C, 928 отражений, R 0,0270, моноклинная решетка, ф. гр. Cm, Z 2, а 9,309, b 14,081, с 6,314 Å,  $\beta$  105,82°) и  $\beta$ -CsTi<sub>3</sub>P<sub>5</sub>O<sub>19</sub> ( $\lambda$ Mo, 25 °C,

(T<sub>t2</sub>)

X.N16, 1996.

1678 отражений,  $R = 0,0383$ , моноклинная решетка, ф. гр.  $C2/c$ ,  $Z = 4$ , а  $10,987$ ,  $b = 16,588$ ,  $c = 8,7618$  Å,  $\beta = 100,09^\circ$ ). Каркас структуры  $\alpha\text{-CsTi}_3\text{P}_5\text{O}_{19}$  состоит из связанных вершинами димеров  $\text{Ti}_2\text{O}_{11}$  из октаэдров  $\text{TiO}_6$ , тетраэдров  $\text{PO}_4$  и групп  $\text{P}_2\text{O}_7$ , в пустотах образующихся каналов расположены атомы Cs, межатомные расстояния Ti—O лежат в пределах от 1,809 до 2,027 Å, а P—O — от 1,502 до 1,598 Å. В каркасе структуры  $\beta\text{-CsTi}_3\text{P}_5\text{O}_{19}$  отсутствуют димерные образования  $\text{Ti}_2\text{O}_{11}$ , а остальные «строительные единицы» остаются теми же, межатомные расстояния Ti—O лежат в пределах от 1,863 до 1,989 Å, а P—O — от 1,494 до 1,600 Å. Низкотемпературной фазе соответствует кристаллографическая формула  $\text{CsTi}(\text{Ti}_2\text{O})(\text{PO}_4)(\text{P}_2\text{O}_7)_2$ , а высокотемпературной —  $\text{CsTi}_3(\text{PO}_4)_3(\text{P}_2\text{O}_7)$ . Для соединения  $\alpha\text{-CsTi}_3\text{P}_5\text{O}_{19}$  отсутствие центра симметрии подтверждено измерениями ГВГ, сигнал второй гармоники превышает в 9 раз сигнал кварца.

В. П. Сиротинкин

e o  
ins /

$Cs_2 Ti_2 As_3 O_{12}$

1995

F:  $CsTi_2As_3O_{12}$

P: 1

12Б246.  $CsTi_2As_3O_{12}$ : арсенат цезия и титана(4+) с открытой каркасной структурой.  $CsTi_2As_3O_{12}$ : A cesium titanium(IV) arsenate with an open framework structure / Lii Kwang-Hwa // Inorg. Chem. 1995. - 34, N 7. - С. 1700-1704. - Англ. Место хранения ГПГБ Взаимодействием  $CsH_2AsO_4$ ,  $NH_4H_2AsO_4$ ,  $TiO_2$  в молярном отношении 3:6:1 при медленном нагревании до 850 °C, охлаждении до 650 °C (10 °C{-1}) и закалке до комнатной т-ры. Получены бесцветные столбчатые (I) стержнеобразные и желтые кристаллы. Состав I  $CsTi_2As_3O_{12}$ . Проведено рентгенографическое изучение и РСТА (ЛямбдаMo, 23 °C, 1818 отражений, R 0,0242). Параметры кубической решетки: a 20,495 Å, V 8609 Å{3}, Z 32, 'ро'(выч.) 3,984, ф. гр. Ia3d. В структуре позиции Cs заняты наполовину. Атомы Ti и Cs[(2)] находятся на оси 2 (48g), Cs[(i)] имеет локальную симметрию 32 (16b), Ti 2-3 (16a), As и O - 1. КЧ As и Ti - 4-тетраэдр и 6-октаэдр. Тетраэдры и октаэдры образуют смешанный каркас, в пустотах которого с КЧ 8 и 12 размещаются атомы Cs. Структура I - новый структурный тип, состоящий из  $[Ti_2As_3O_{18}]$ -групп.. Кристаллическая структура.

Кристал  
стаб-рд

X. 1996, N 12

*Cs<sub>3</sub>Ti<sub>3</sub>Te<sub>11</sub>*

1996

2 Б232. Новые тернарные теллуриды металлов IV группы с внешним Te—Te связыванием: низкомерные соединения Cs<sub>3</sub>Ti<sub>3</sub>Te<sub>11</sub> и Cs<sub>5</sub>Hf<sub>5</sub>Te<sub>26</sub>. New ternary group-IV tellurides with extensive Te—Te bonding: The low-dimensional compounds Cs<sub>3</sub>Ti<sub>3</sub>Te<sub>11</sub> and Cs<sub>5</sub>Hf<sub>5</sub>Te<sub>26</sub> / Pell M. A., Ibers J. A. // Chem. Mater. — 1996. — 8, № 7. — С. 1386—1390. — Англ. Место хранения ГПНТБ

Новые черные игольчатые кристаллы соединений  $Cs_3Ti_3Te_{11}$  (I) и  $Cs_5Hf_5Te_{26}$  (II) синтезированы из  $Cs_2Te$ , флюса. Проведен РСТА I и II (115К,  $\lambda$ Mo, R 0,034, 0,084). Параметры моноклинных решеток I, II: а 10,776, 19,256, b 15,281, 9,487, c 14,843, 27,94 Å,  $\beta$  92,29, 98,40°, V 2,442, 5049 Å<sup>3</sup>, ρ(выч.) 5,293, 6,413, Z 4,4, ф. гр. P2<sub>1</sub>/n, P2<sub>1</sub>/c. В структуре I цепи  $[Ti_3Te_{11}]^{3-}_{\infty}$  разделены ионами  $Cs^+$  с образованием одномерной структуры. В II в результате взаимодействия Te—Te образуется псевдо-слоистая структура. Электрическая проводимость I при 25° C ~  $9,2 \times 10^{-5}$  ом<sup>-1</sup> см<sup>-1</sup>.

Н. Л. Смирнова

X. 1997, № 2

(5)

F: Cs<sub>2</sub>TiP<sub>2</sub>O<sub>8</sub>

P: 1

1997

18Б215. Определение структуры нового слоистого соединения Cs<sub>2</sub>TiP<sub>2</sub>O<sub>8</sub> и ионная проводимость Cs<sub>2</sub>MP<sub>2</sub>O<sub>8</sub> (M=Ti, V). Structure determination of the new layered compound Cs<sub>2</sub>TiP<sub>2</sub>O<sub>8</sub> and ionic conductivity of Cs<sub>2</sub>MP<sub>2</sub>O<sub>8</sub> (M=Ti, V) / Daidouh A., Veiga M. L., Pico C. // Solid State Ionics. - 1997. - 104, 3-4. - С. 285-294. Англ.

Твердофазным взаимодействием синтезирован новый пирофосфат Cs<sub>2</sub>TiP<sub>2</sub>O<sub>8</sub> (I), изотипный с Cs<sub>2</sub>VP<sub>2</sub>O<sub>8</sub> (II), и решена его кристаллическая структура по данным рентгеновской порошковой дифракции. Кристаллы I ромбич., ф. гр. Рлта; а 13,521, b 7,253, c 9,439 Å; Z 4; R[ p] 16,1%, R[ wp] 18,0%, R[ B] 8,70%. Основа структуры I состоит из слоев [Ti<sub>2</sub>P<sub>4</sub>O<sub>16</sub>] ['БЕСКОНЕЧН'],

параллельных плоскости (100) и заключенных между атомами Cs. Слои построены из квадратных пирамид  $TiO[5]$  ( $Ti-O$  1,577-2,105 Å) и групп  $P[2]O[7]$ , образующих цепи  $[TiP[2]O[8]]$  ['БЕСКОНЕЧН'] и  $[TiPO[7]]$  ['БЕСКОНЕЧН'] вдоль направлений [010] и [001], соответственно. Апикальные вершины пирамид  $TiO[5]$  свободные и соответствуют коротким связям  $Ti-O$  1,577 Å, которые могут рассматриваться как титаниальные группы.

Слои

$[Ti[2]P[4]O[16]]$  ['БЕСКОНЕЧН'] ограничивают межслоевое пространство, внутрь которого внедряются атомы Cs: Cs(1) окружен 10-ю атомами O ( $Cs-O$  2,96-3,64 Å), Cs(2) = 8-ю атомами ( $Cs-O$  3,08-3,59 Å). Ионная проводимость II несколько выше, чем у I:  $1,66 \cdot 10^{-4}$  и  $2,04 \cdot 10^{-5}$  См $\cdot$ см $^{-1}$  при 703 К, соответственно. Меньшая энергия активации проводимости в I (0,80 эВ) по сравнению с II (0,88 эВ) обусловлена увеличенным межслоевым расстоянием = 13,521 (I) и 13,280 Å (II).